



1/28

FIG. 1

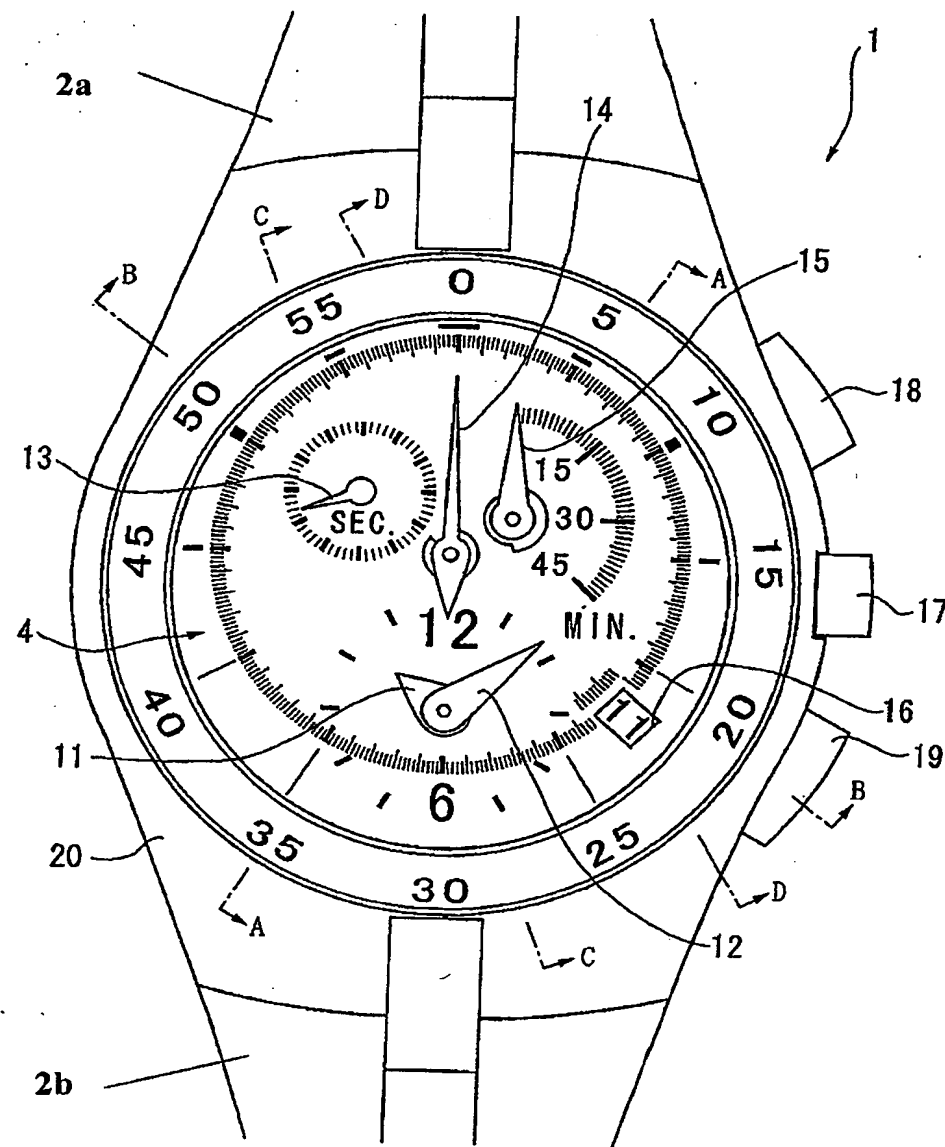


FIG. 2

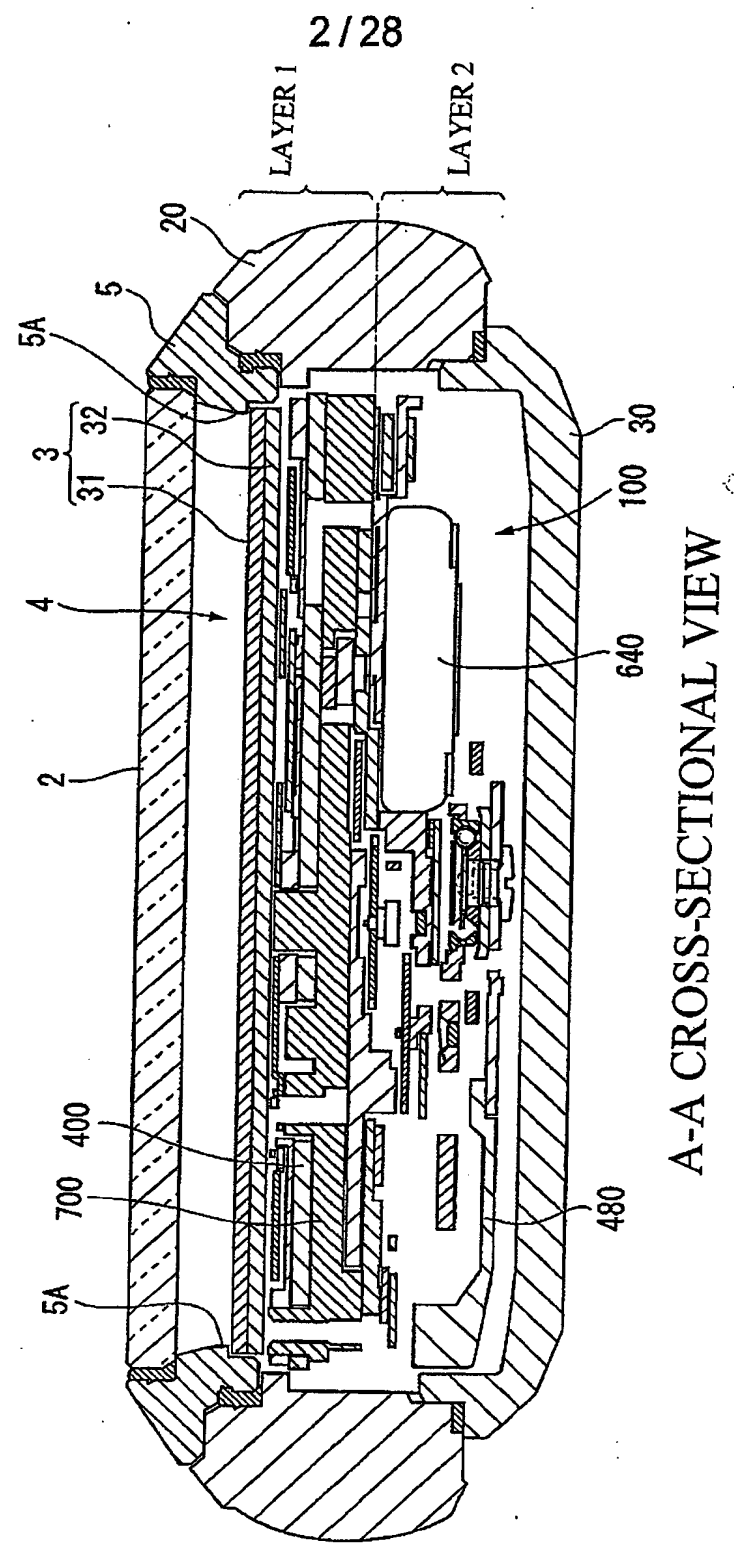


FIG. 3

3/28

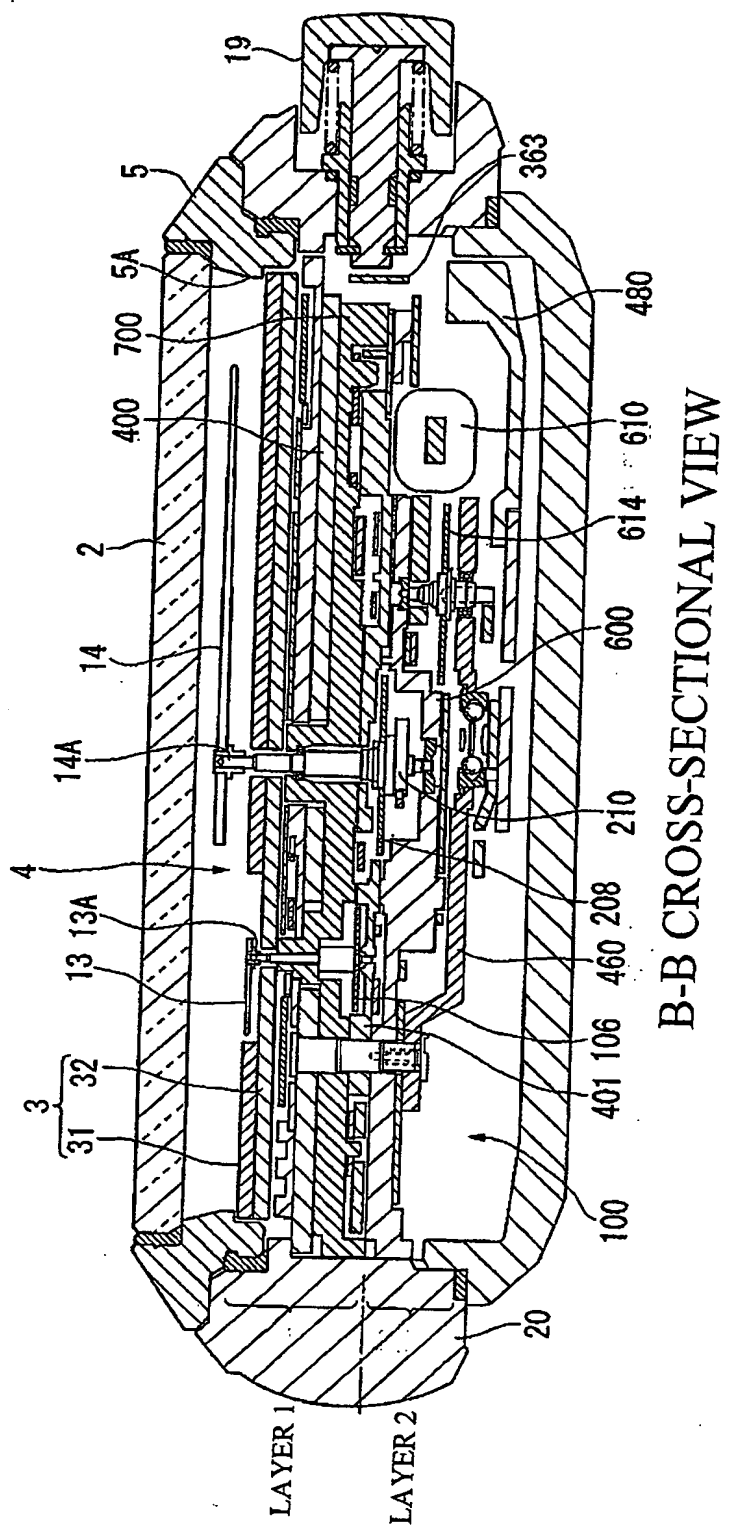
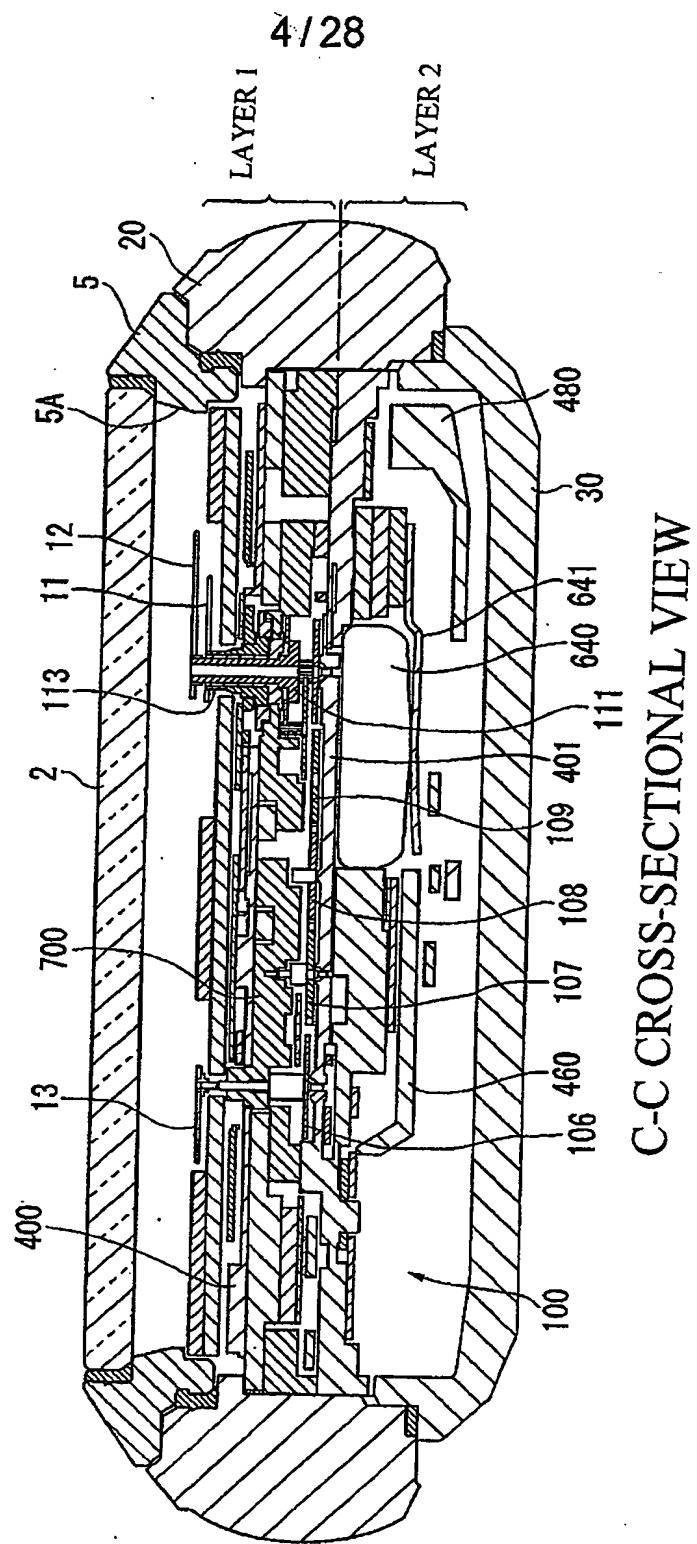


FIG. 4



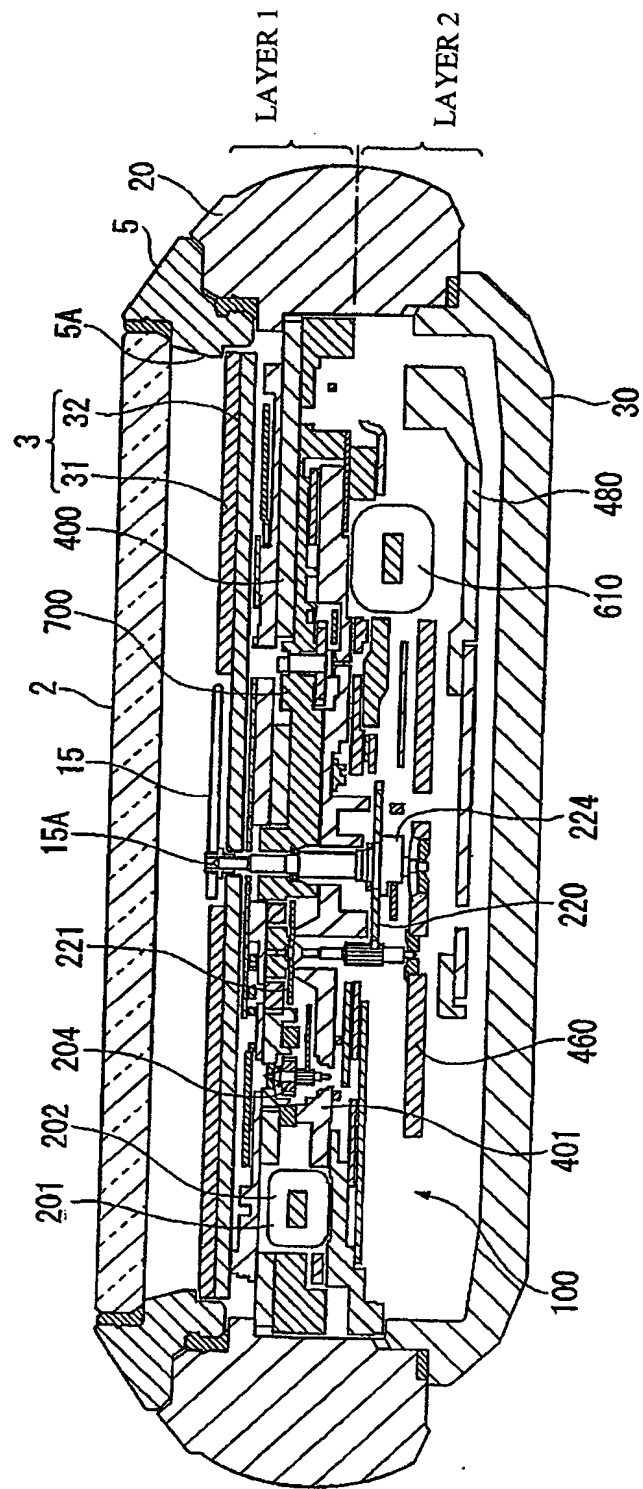


FIG. 5

D-D CROSS-SECTIONAL VIEW

6/28
FIG. 6

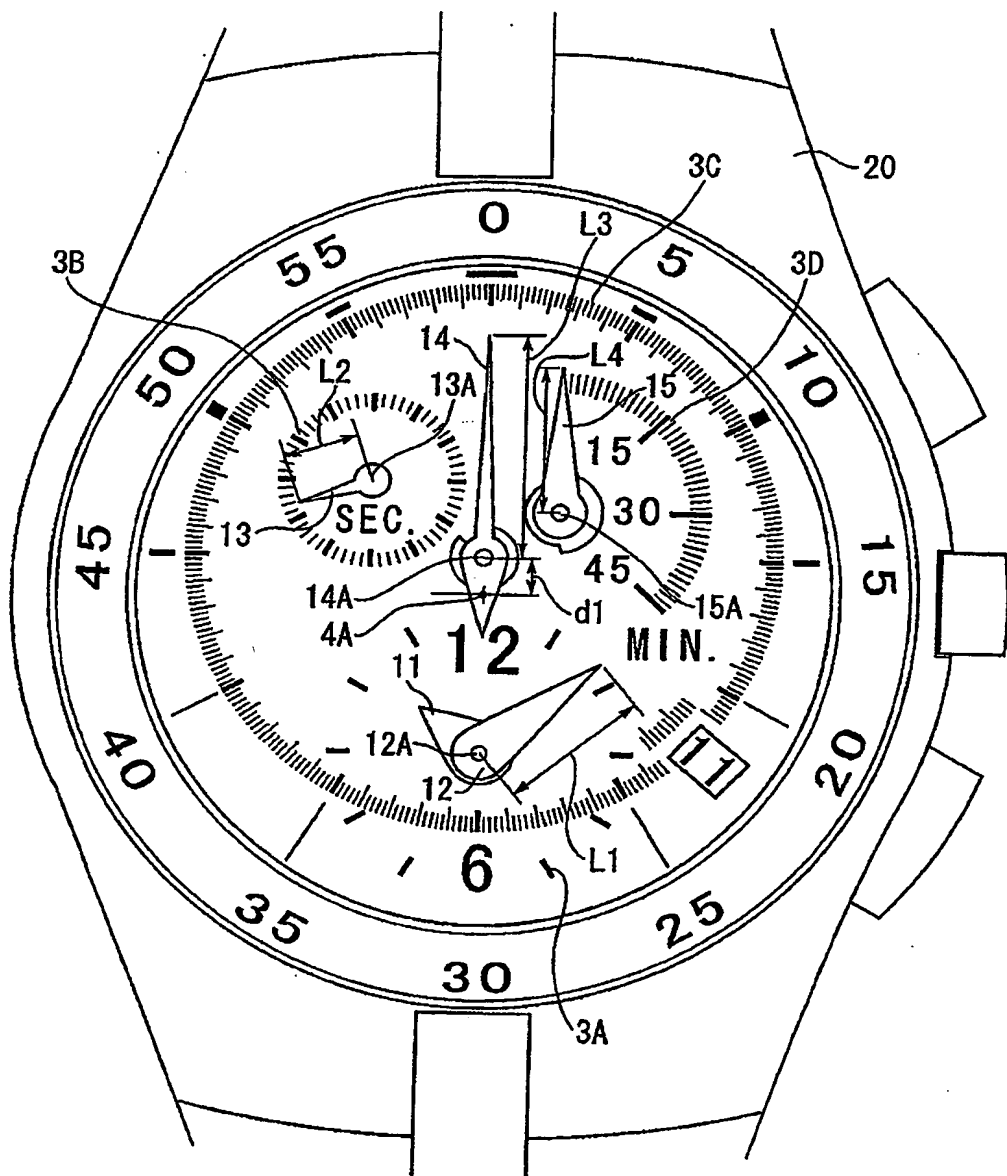


FIG. 7

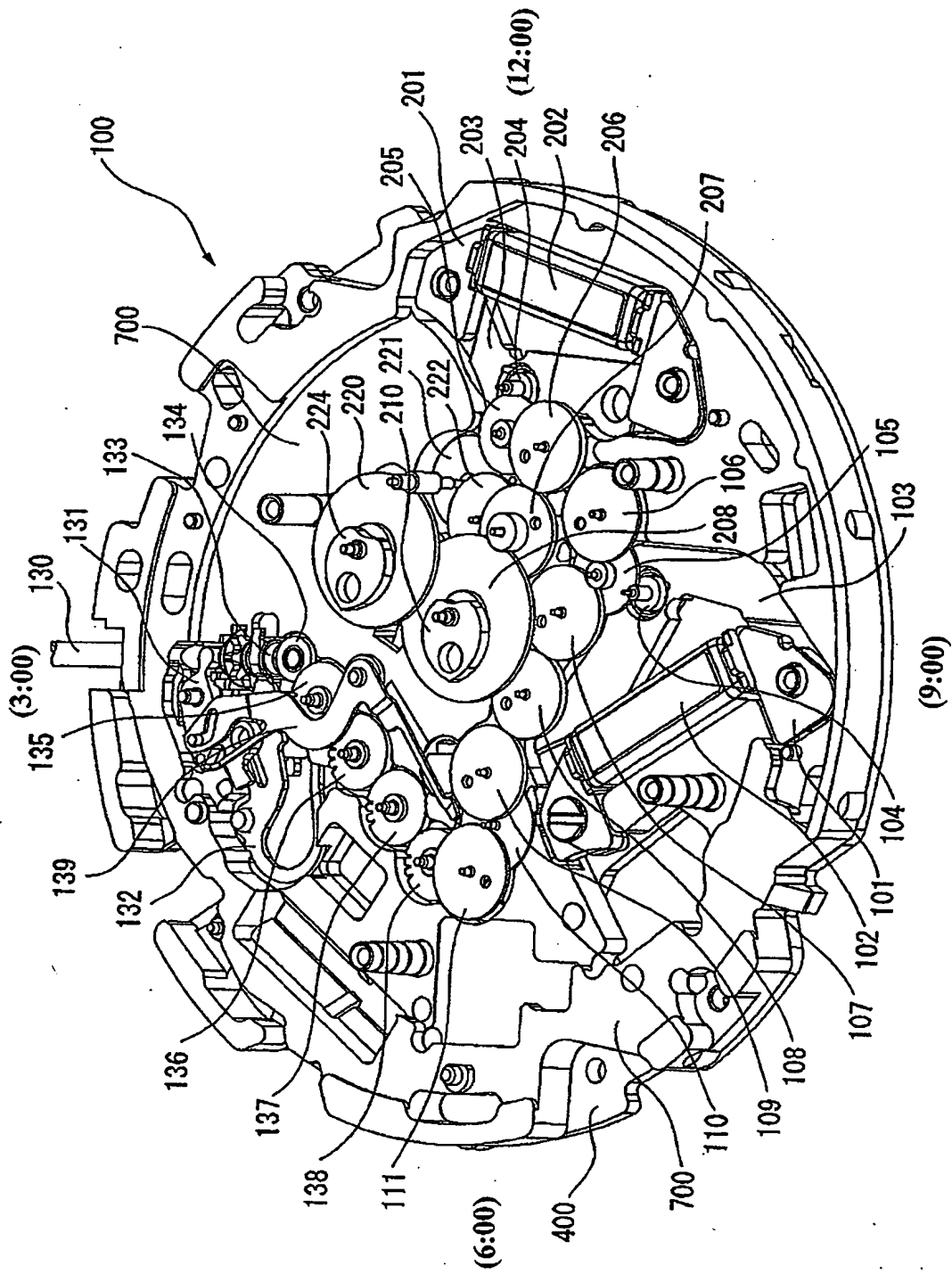
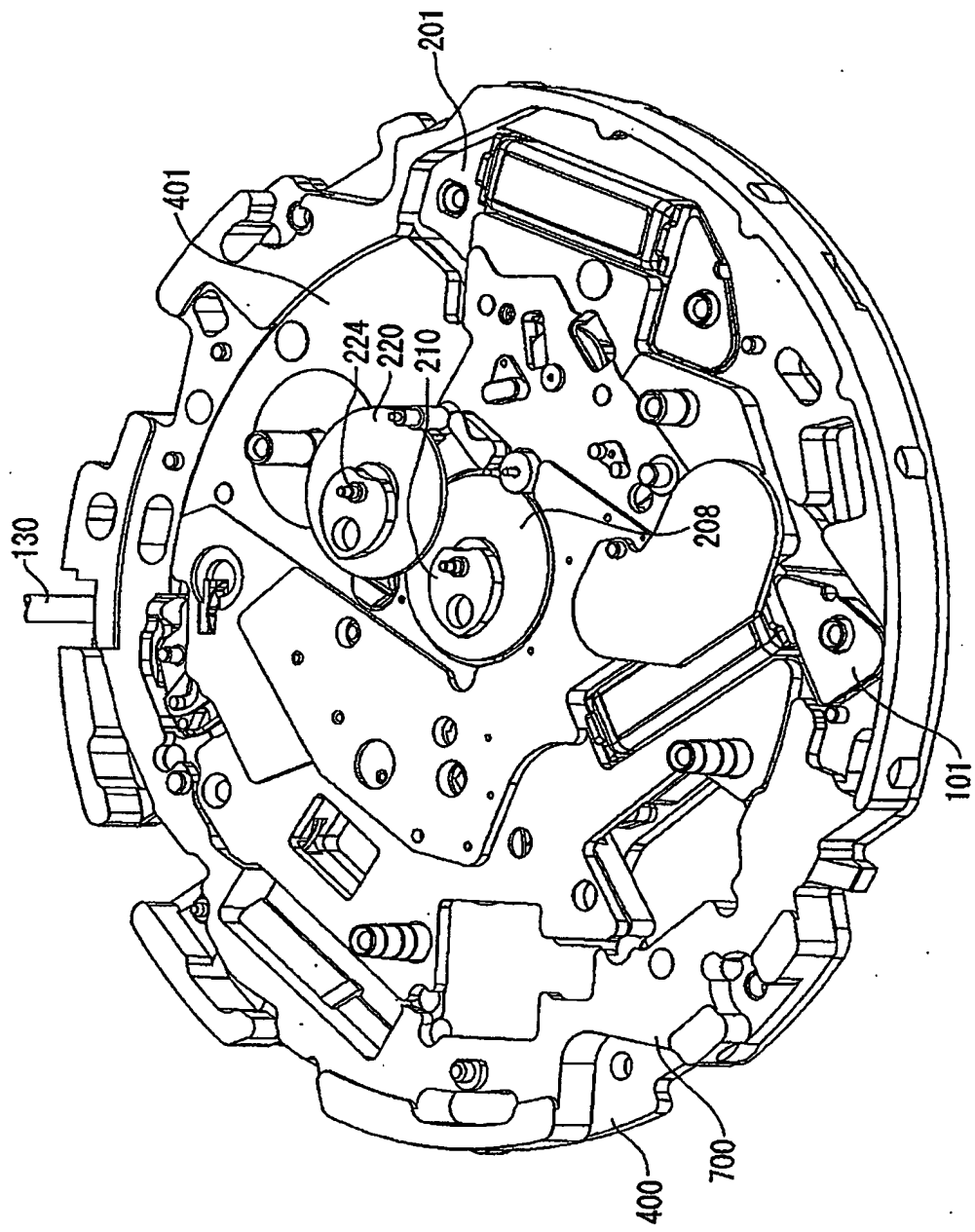
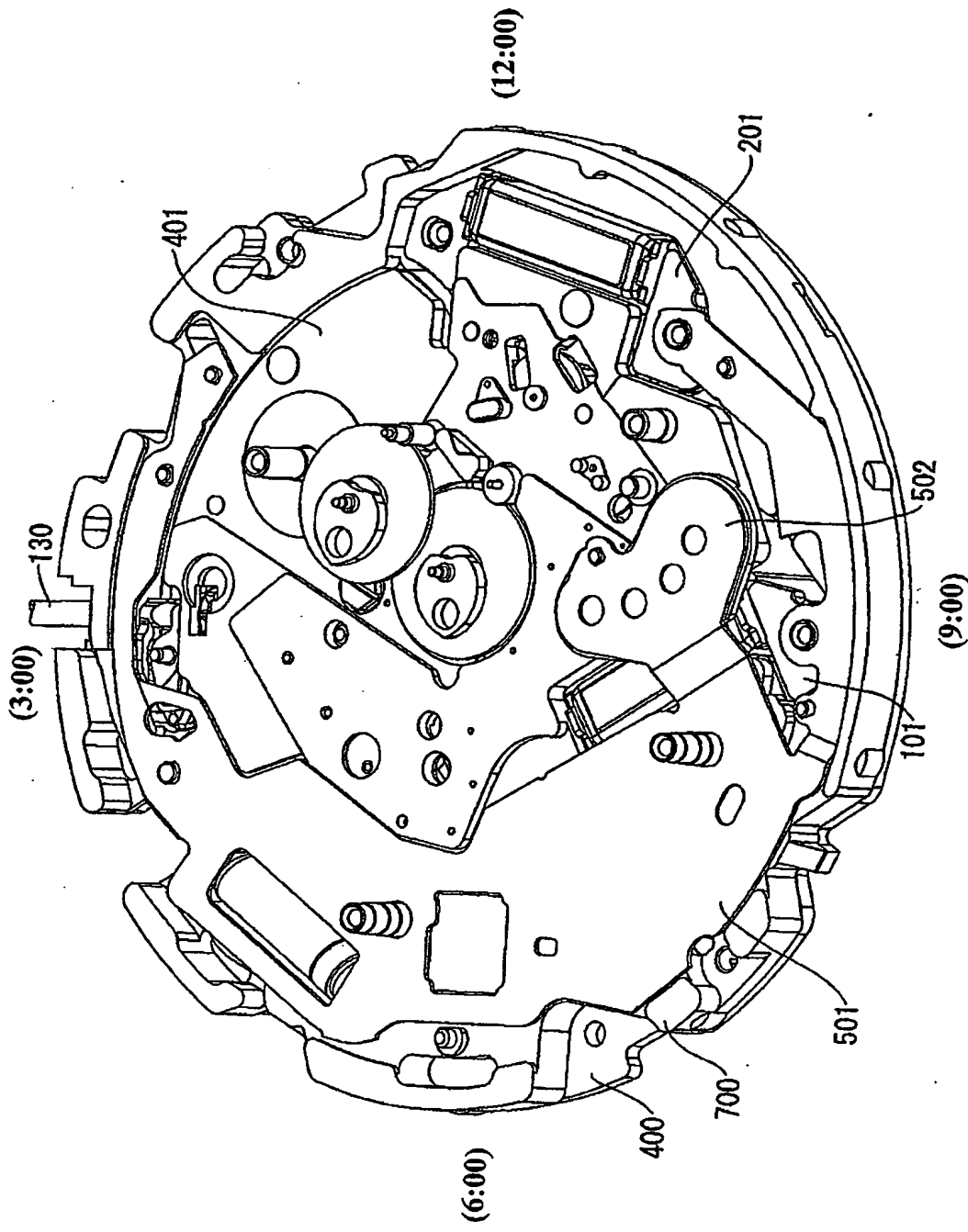


FIG. 8



9/28

FIG. 9



10/28

FIG. 10

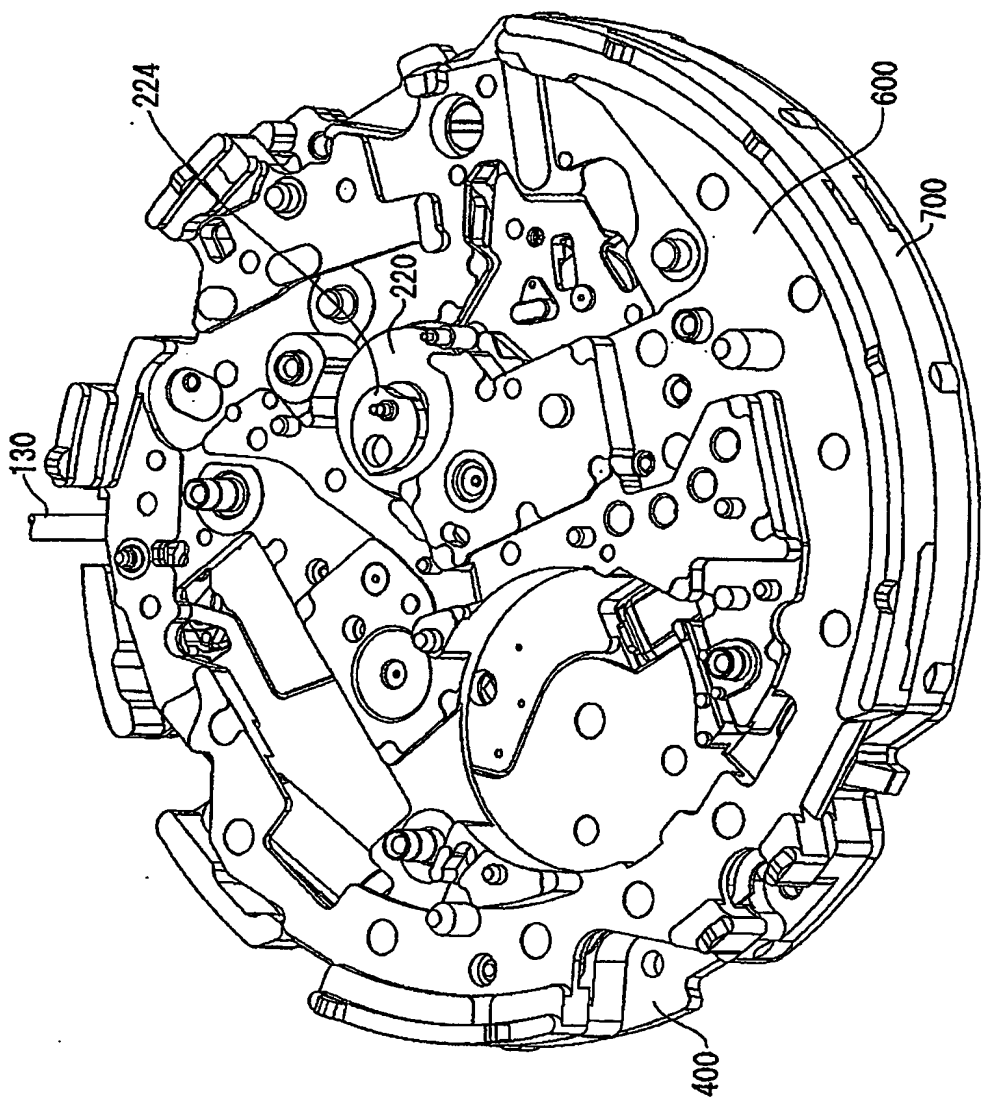
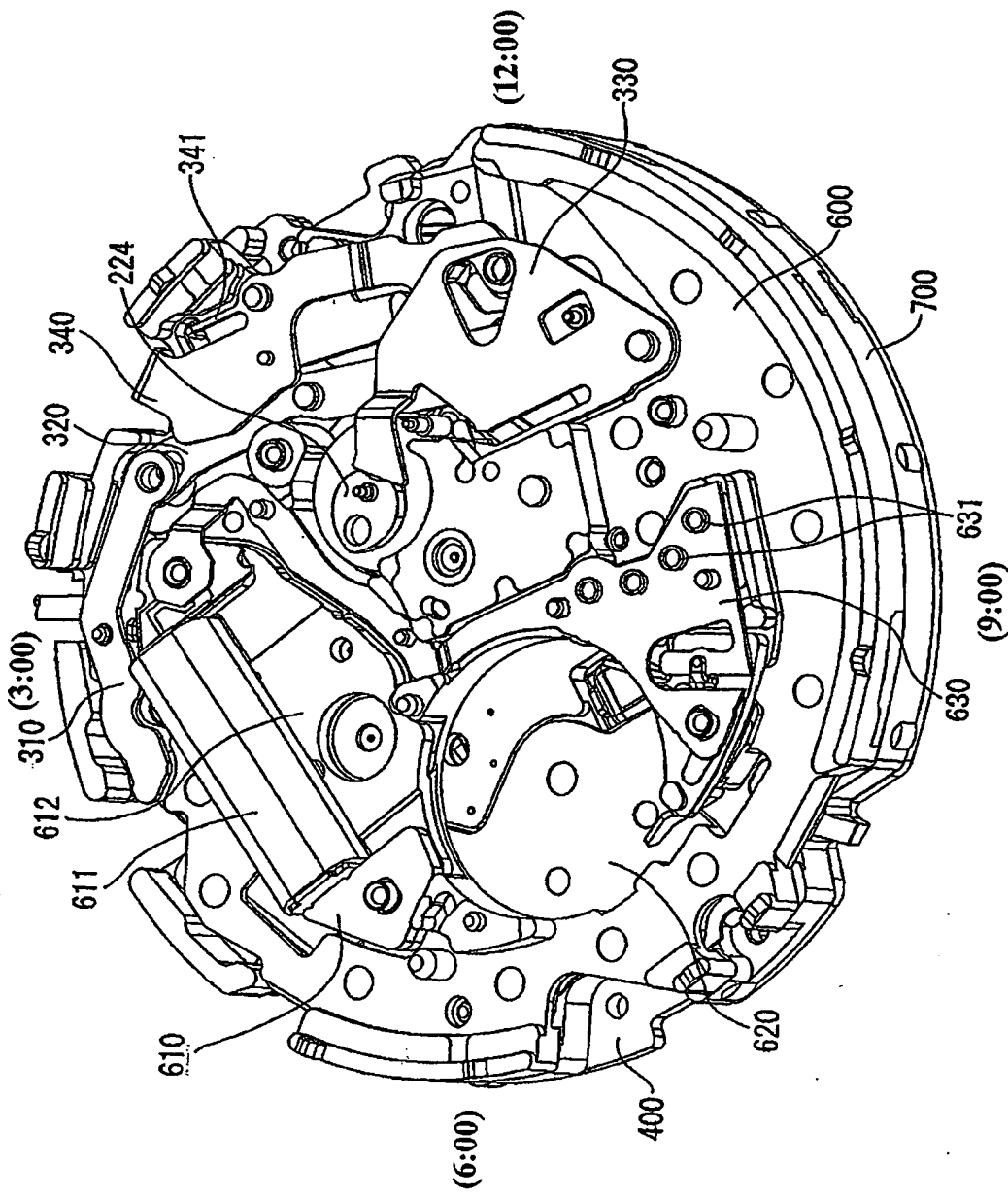


FIG. 11



12/28

FIG. 12

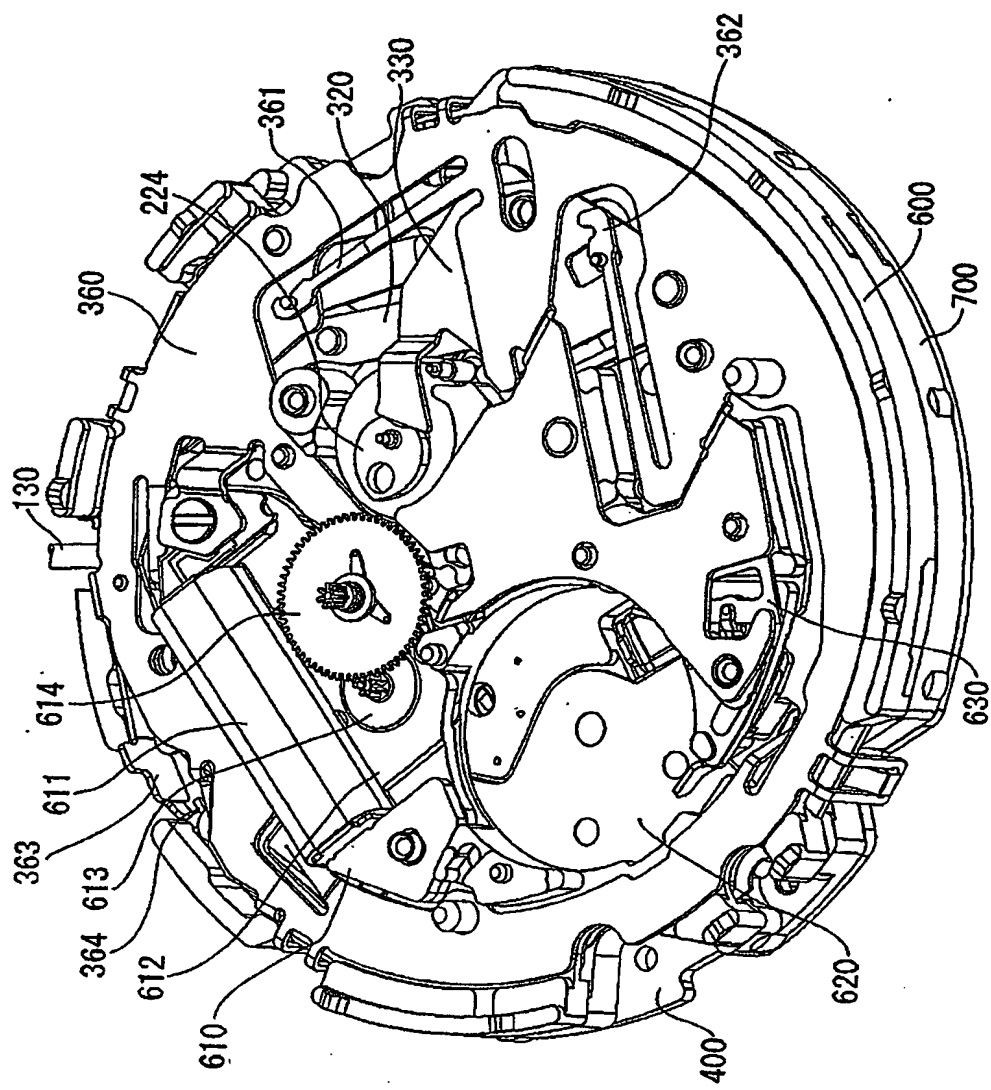


FIG. 13

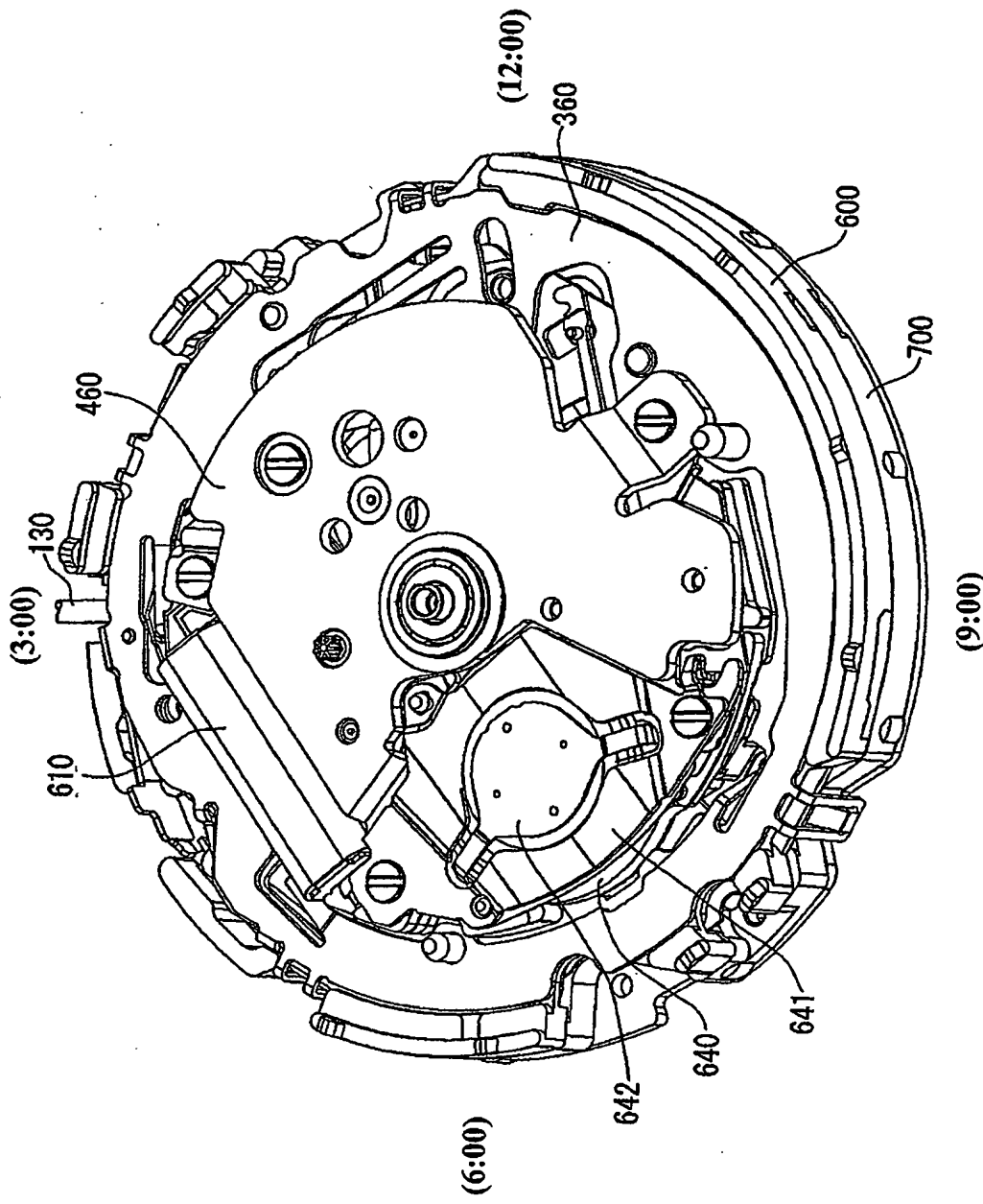


FIG. 14

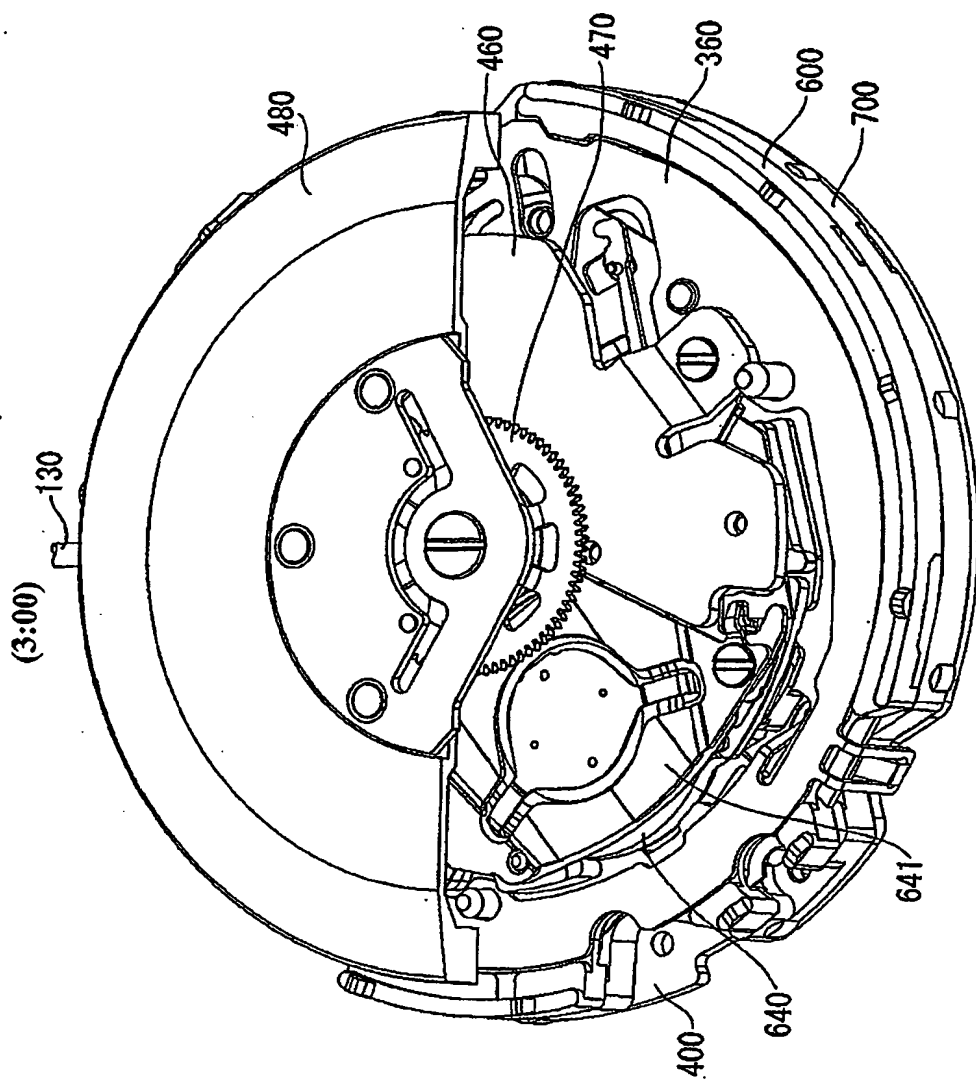


FIG. 15

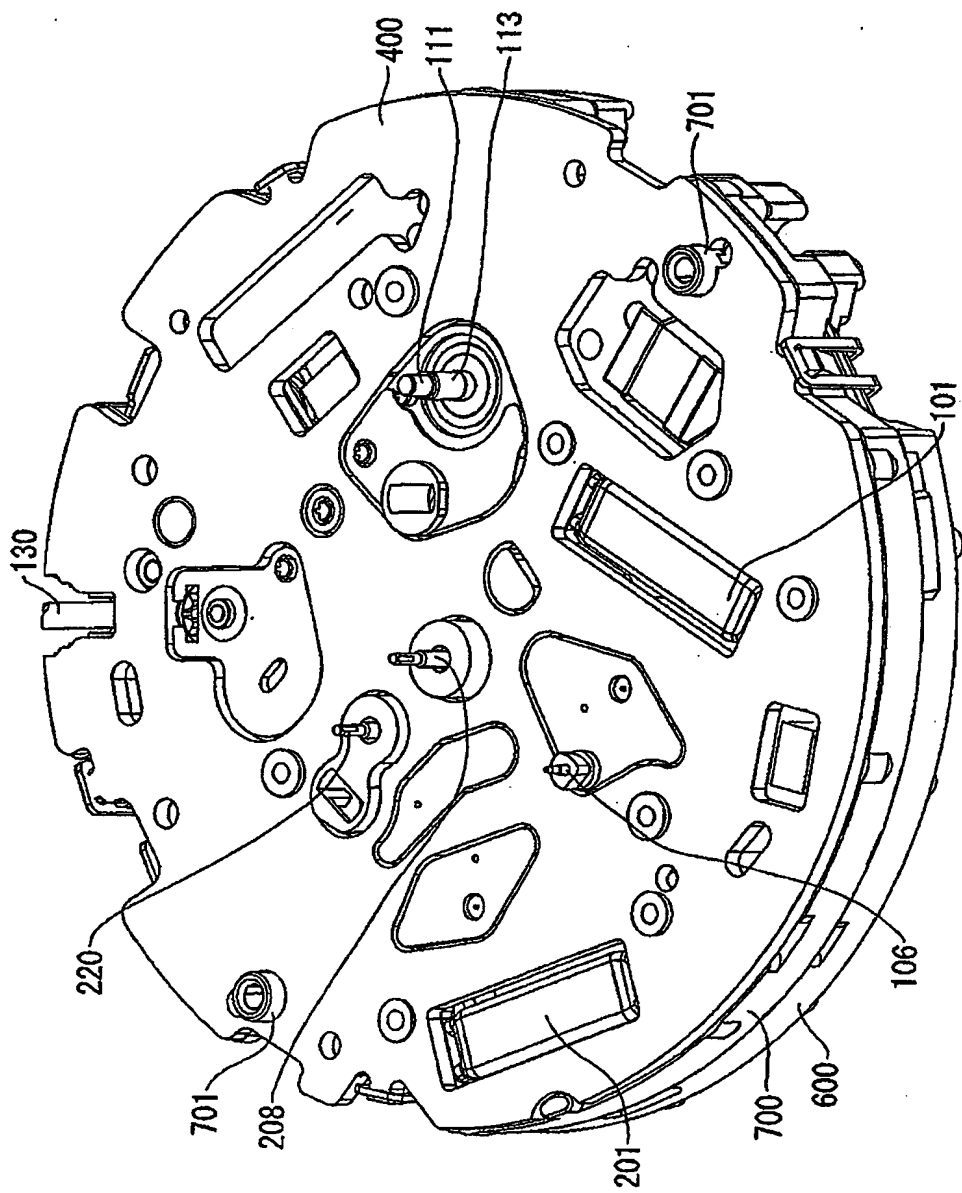


FIG. 16

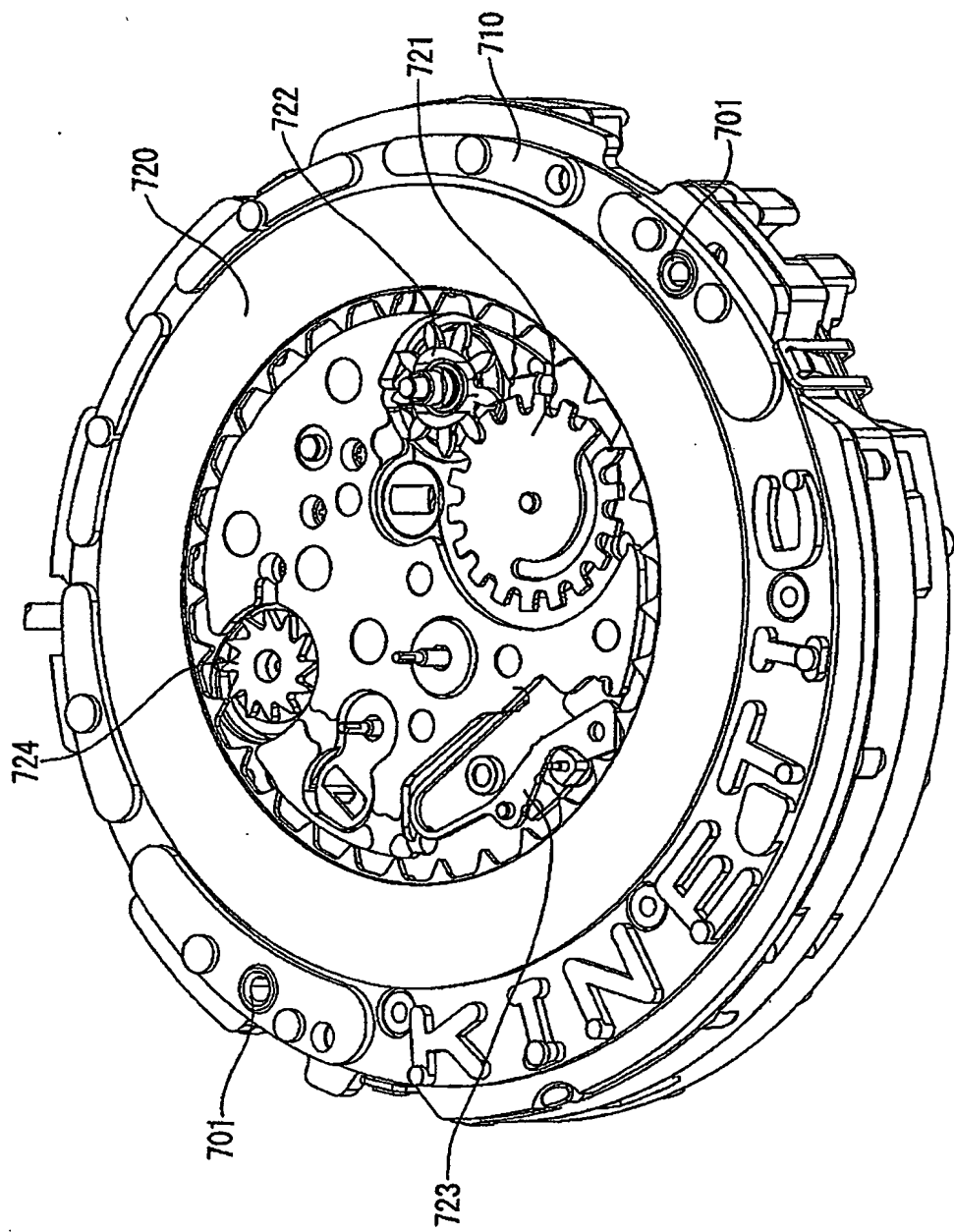
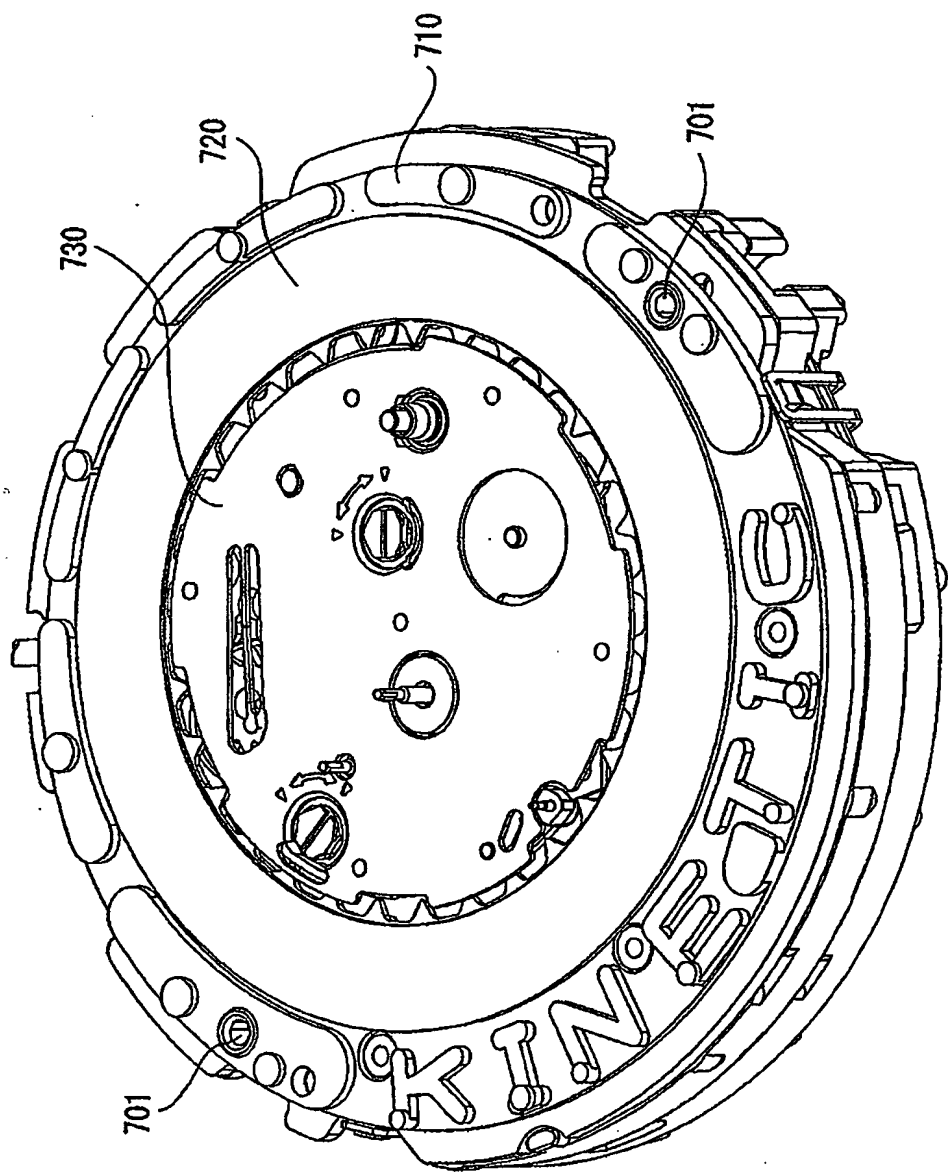


FIG. 17



18/28

FIG. 18

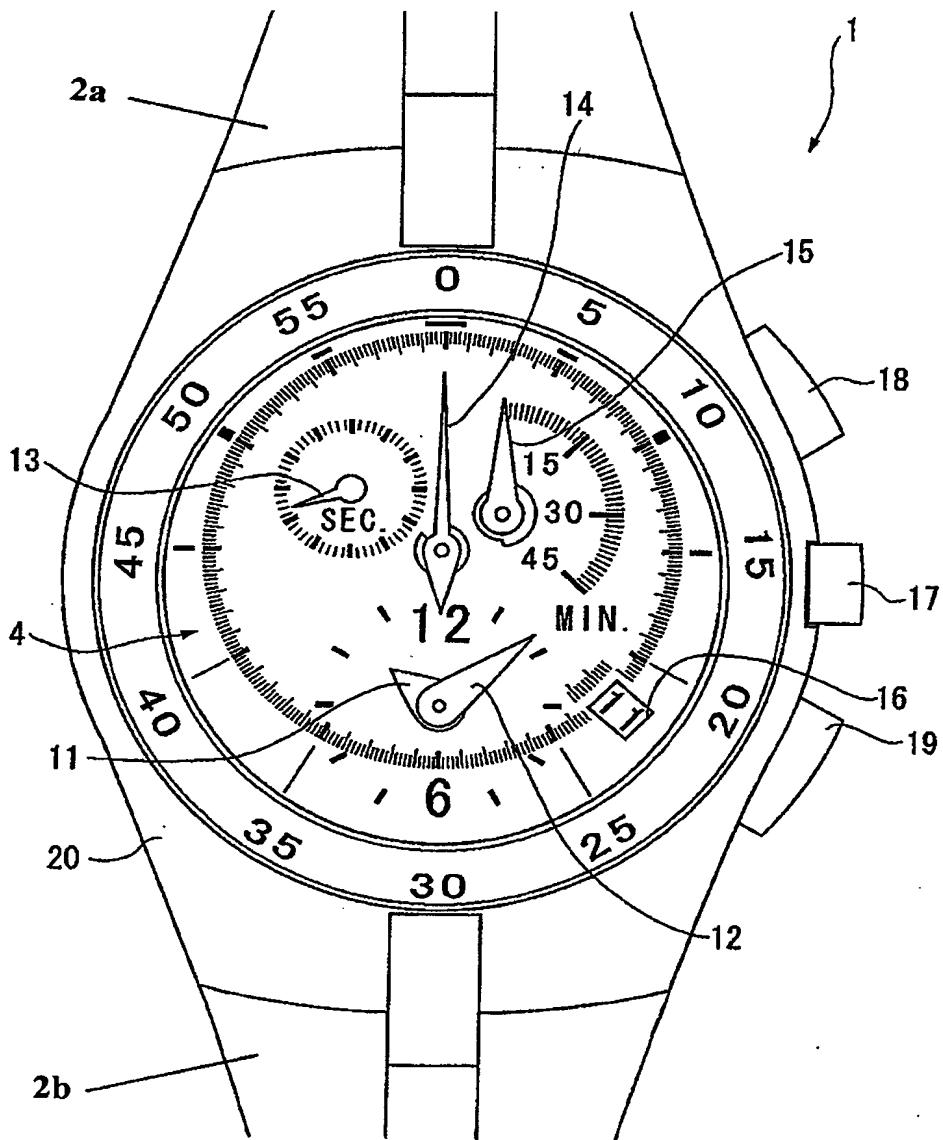


FIG. 19

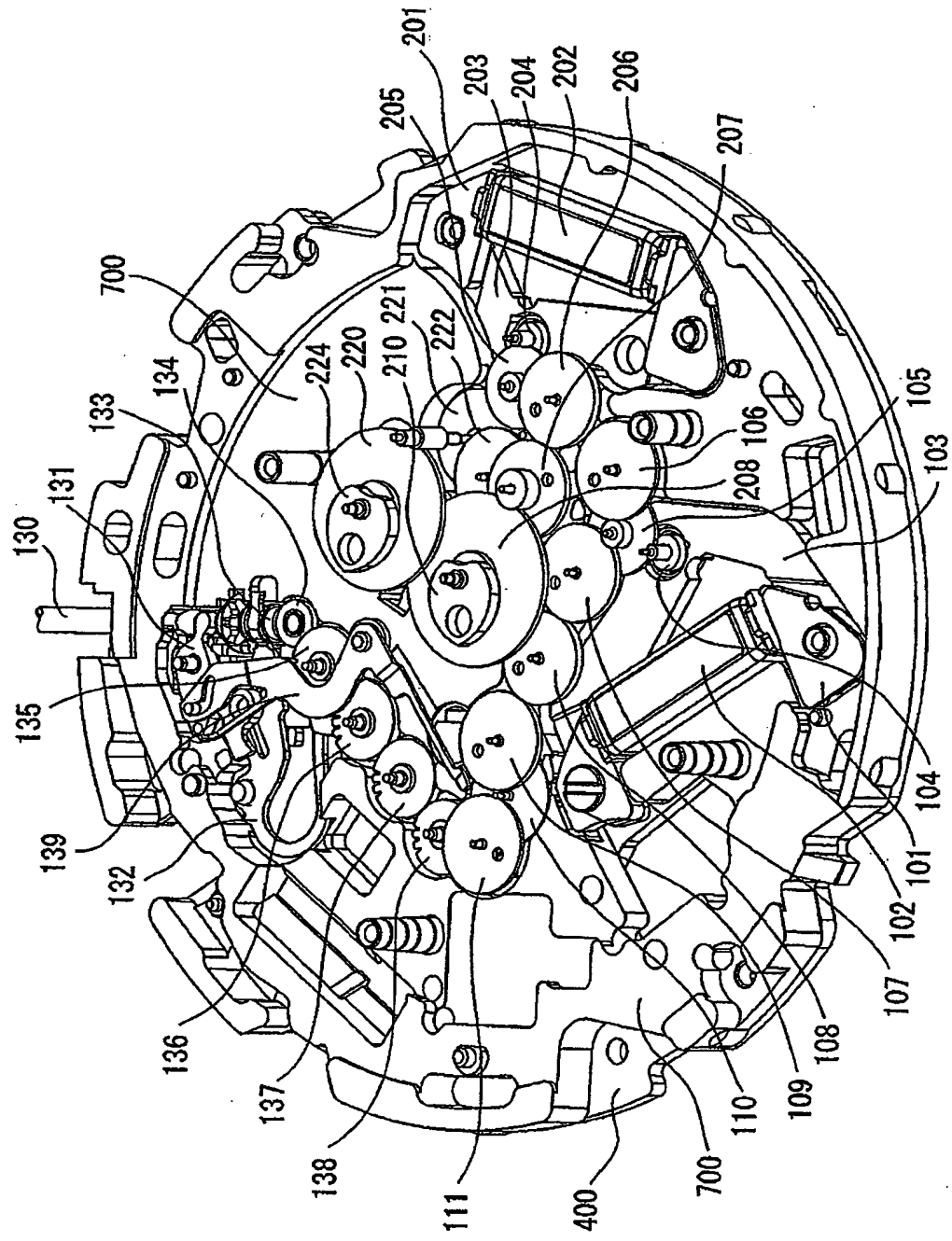


FIG. 20

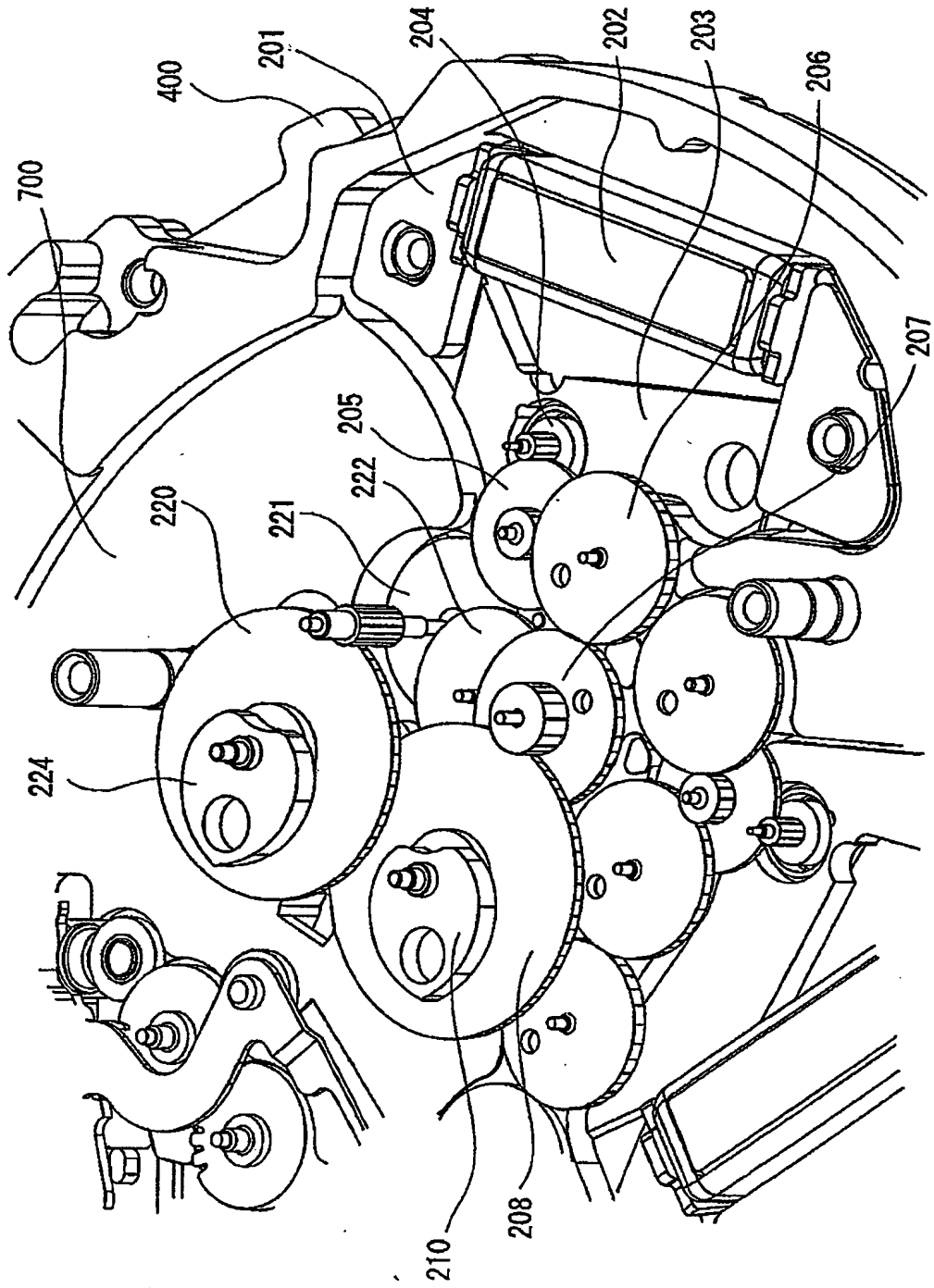
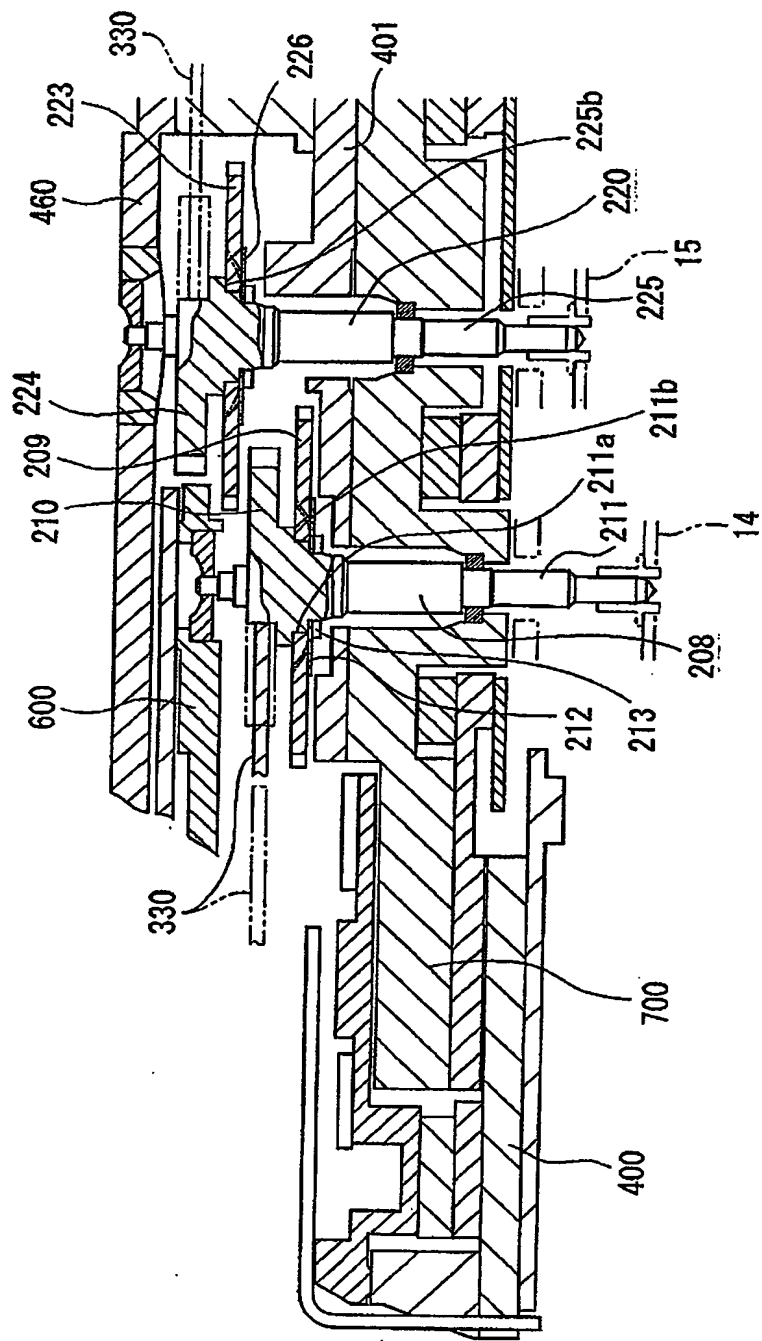


FIG. 21



22/28

FIG. 22

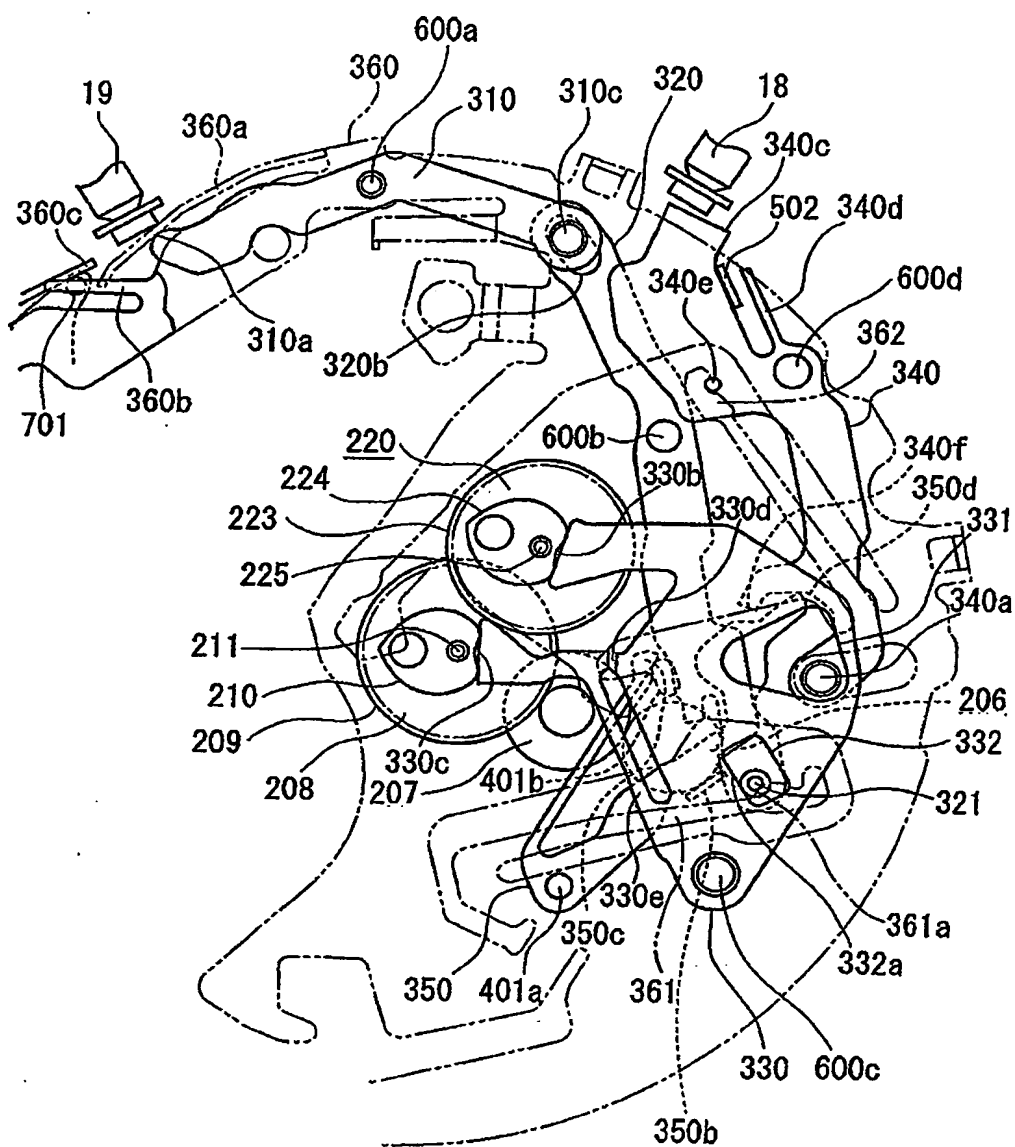
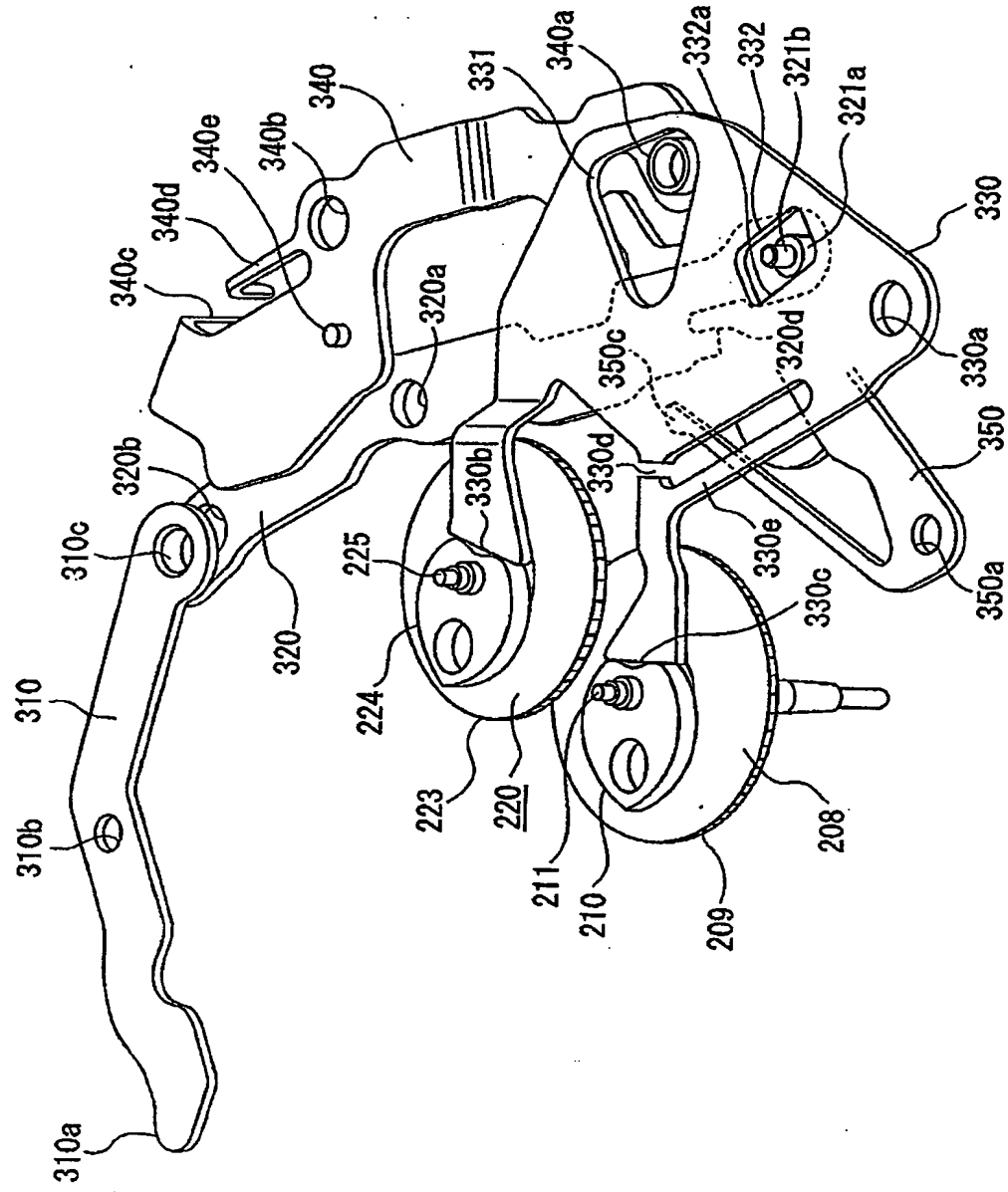
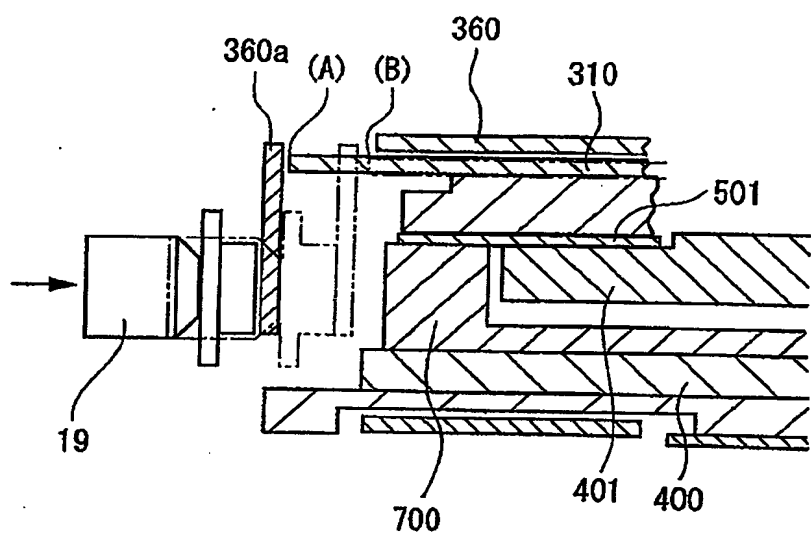


FIG. 23



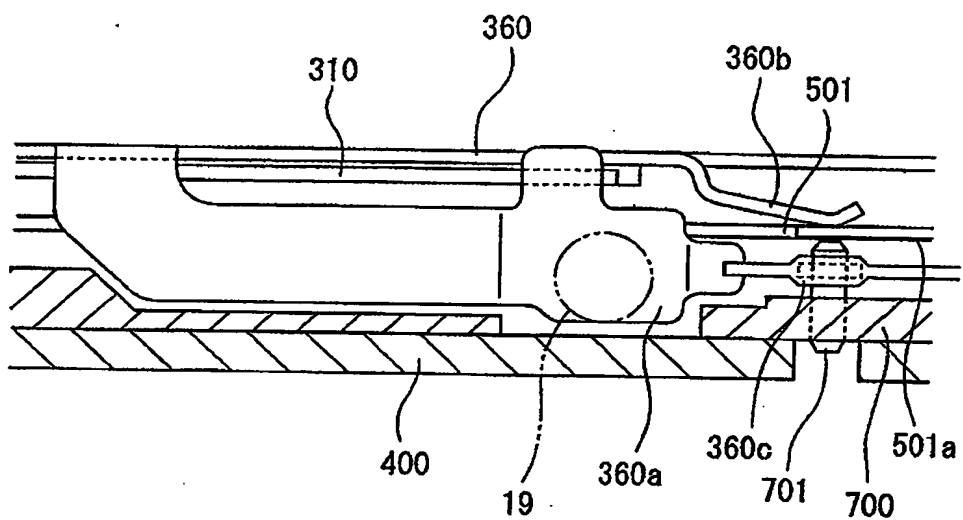
24/28

FIG. 24



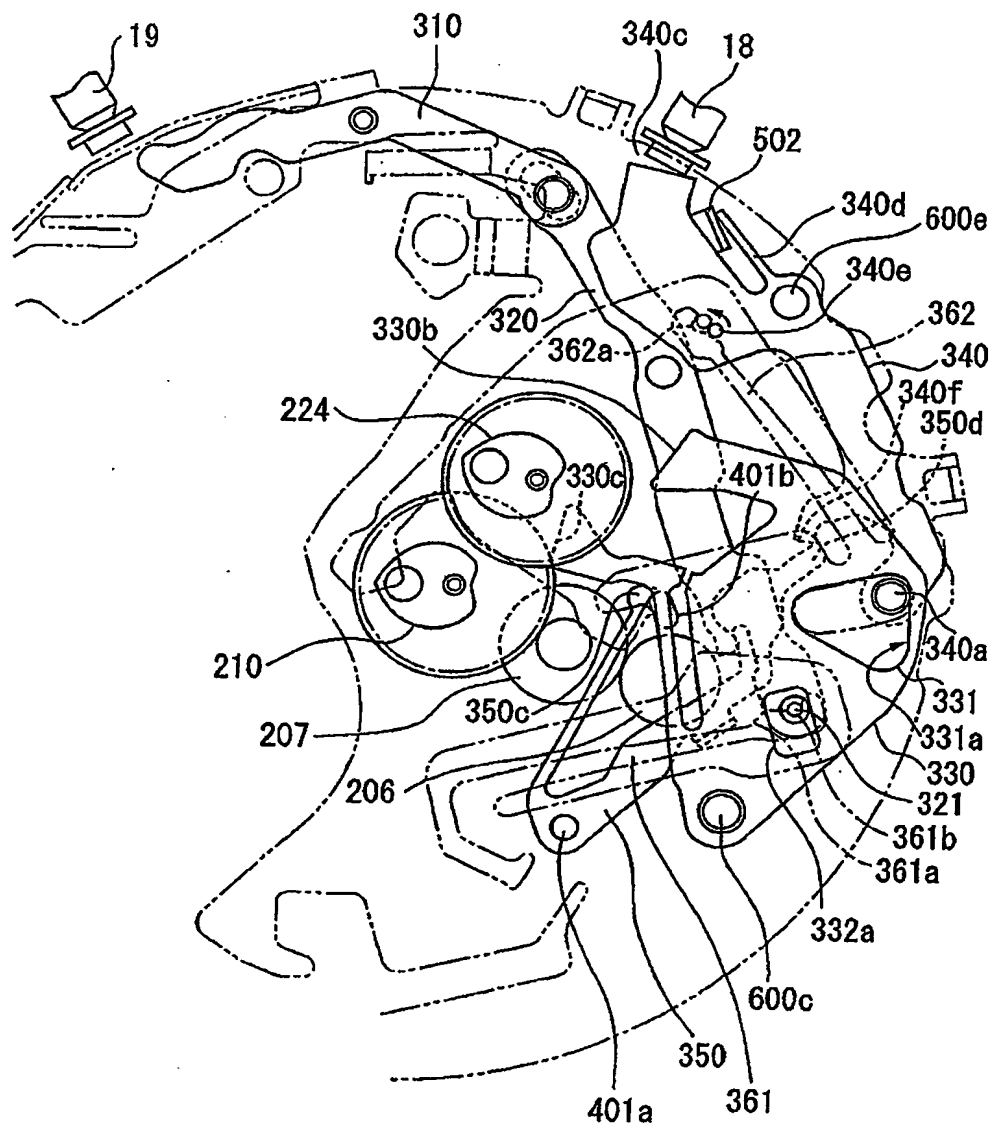
25/28

FIG. 25



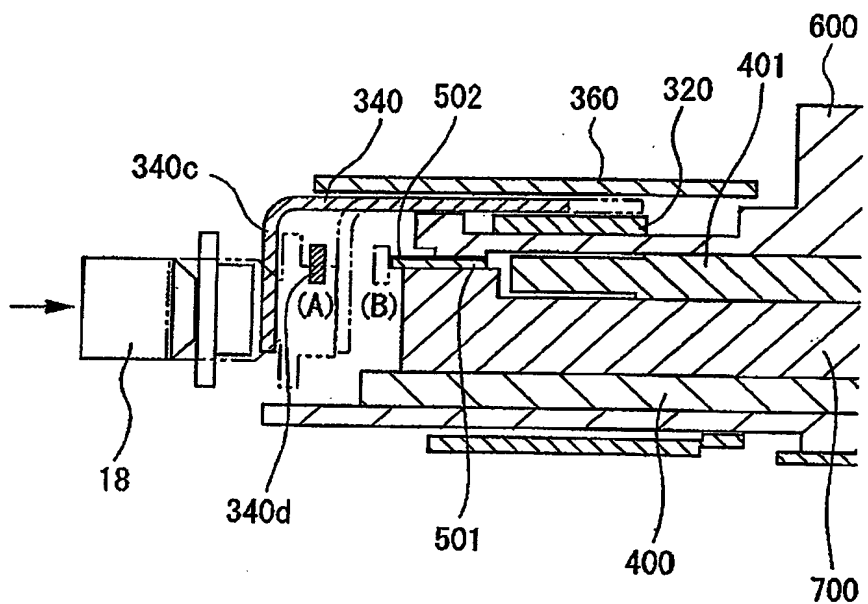
26/28

FIG. 26



27/28

FIG. 27



28/28

FIG. 28

